

Dernière mise à jour des informations: Août 2023

Configuration du produit: MH10

MH10: Cestello - projecteur pour rail à 3 logements - LED dissipation passive Blanc Chaud à rendu des couleurs élevé - transformateur électronique intégré - medium

**Référence produit**MH10: Cestello - projecteur pour rail à 3 logements - LED dissipation passive Blanc Chaud à rendu des couleurs élevé - transformateur électronique intégré - medium **Attention ! Code abandonné****Description technique**

Appareil multilampe pour application sur rail électrique triphase. Sources LED avec système passif de dispersion thermique. Châssis réalisé entièrement en aluminium; système de fixation sur le rail par flasques de raccord au châssis, équipés d'articulations graduées et verrouillages mécaniques; adaptateur pour raccordement au rail séparé de la structure; joints de cardan en aluminium moulé sous pression; orientations +/- 45° par rapport à l'axe horizontal et vertical. Groupes optiques en aluminium moulé sous pression; forme conçue pour assurer une élimination thermique efficace qui garantit dans le temps les performances des sources lumineuses. Optiques d'émission en PMMA; écrans optiques supplémentaires en PMMA texturé - ouverture medium. Transformateurs électroniques intégrés au logement technique de la structure. LED blanc chaud à haut rendement; indice de rendu des couleurs CRI (Ra) > 90.

Installation

sur rail triphase par fixations mécaniques

Coloris

Gris (15)

Montage

fixé à un rail 3 allumages

Câblage

Raccordement sur rail électrifié par adaptateur

Conforme à la norme EN60598-1 et à la réglementation en vigueur (ou à la réglementation relative)

**Données techniques**

| | | | |
|--|--------|--------------------------------------|-------------------------------|
| Im du système: | 4423.7 | IRC: | 95 |
| W du système: | 72.2 | Température de couleur [K]: | 3000 |
| Im source: | 1800 | MacAdam Step: | 3 |
| W source: | 19 | Durée de vie LED 1: | 50,000h - L90 - B10 (Ta 25°C) |
| Efficacité lumineuse (lm/W, valeurs du système): | 61.3 | Pertes de l'alimentation [W]: | 5.1 |
| Im en mode secours: | - | Code Lampe: | LED |
| Flux total émis à un angle de 90° ou plus [Lm]: | 0 | Nombre de lampes par groupe optique: | 1 |
| Light Output Ratio (L.O.R.) [%]: | 82 | Code ZVEI: | LED |
| Angle d'ouverture [°]: | 30° | Nombre de groupes optiques: | 3 |

Polaire

| Imax=3731 cd | Lux | | | |
|--------------|-----|-----|-----|------|
| | h | d | Em | Emax |
| | 2 | 1.1 | 764 | 933 |
| | 4 | 2.1 | 191 | 233 |
| | 6 | 3.2 | 85 | 104 |
| | 8 | 4.3 | 48 | 58 |

Isolux

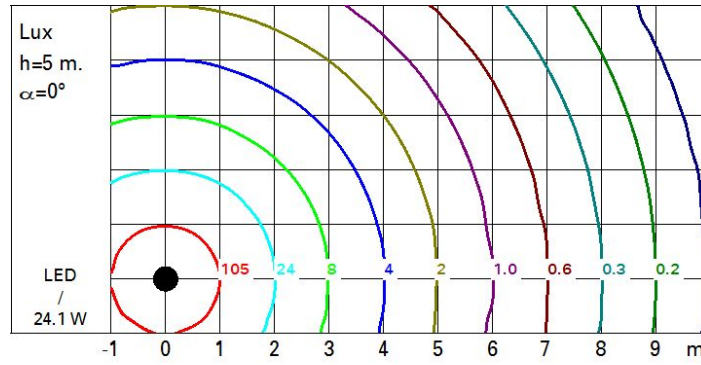


Diagramme UGR

| | | | | | | | | | | | |
|---|------|------------|------|------|------------|------|---------|------|------|------|------|
| Photometric curve code: MF270000.J80 | | | | | | | | | | | |
| Corrected UGR values (at 1800 lm bare lamp luminous flux) | | | | | | | | | | | |
| Reflect.: | | | | | | | | | | | |
| ceiling/cav | | 0.70 | 0.70 | 0.50 | 0.50 | 0.30 | 0.70 | 0.70 | 0.50 | 0.50 | 0.30 |
| walls | | 0.50 | 0.30 | 0.50 | 0.30 | 0.30 | 0.50 | 0.30 | 0.50 | 0.30 | 0.30 |
| work pl. | | 0.20 | 0.20 | 0.20 | 0.20 | 0.20 | 0.20 | 0.20 | 0.20 | 0.20 | 0.20 |
| Room dim | | viewed | | | | | viewed | | | | |
| x y | | crosswise | | | | | endwise | | | | |
| 2H | 2H | 19.0 | 19.7 | 19.3 | 19.9 | 20.2 | 19.0 | 19.7 | 19.3 | 19.9 | 20.2 |
| | 3H | 19.5 | 20.1 | 19.8 | 20.4 | 20.7 | 19.2 | 19.8 | 19.5 | 20.1 | 20.4 |
| | 4H | 19.5 | 20.1 | 19.9 | 20.4 | 20.7 | 19.2 | 19.8 | 19.6 | 20.1 | 20.4 |
| | 6H | 19.5 | 20.1 | 19.9 | 20.4 | 20.7 | 19.2 | 19.7 | 19.6 | 20.1 | 20.4 |
| | 8H | 19.5 | 20.0 | 19.9 | 20.3 | 20.7 | 19.2 | 19.7 | 19.5 | 20.0 | 20.4 |
| | 12H | 19.5 | 20.0 | 19.8 | 20.3 | 20.6 | 19.1 | 19.6 | 19.5 | 20.0 | 20.3 |
| 4H | 2H | 19.2 | 19.8 | 19.6 | 20.1 | 20.4 | 19.5 | 20.1 | 19.9 | 20.4 | 20.7 |
| | 3H | 19.8 | 20.3 | 20.2 | 20.6 | 21.0 | 19.8 | 20.3 | 20.2 | 20.7 | 21.0 |
| | 4H | 19.9 | 20.3 | 20.3 | 20.7 | 21.1 | 19.9 | 20.3 | 20.3 | 20.7 | 21.1 |
| | 6H | 19.9 | 20.3 | 20.3 | 20.7 | 21.1 | 19.9 | 20.3 | 20.3 | 20.7 | 21.1 |
| | 8H | 19.9 | 20.2 | 20.3 | 20.6 | 21.1 | 19.9 | 20.2 | 20.3 | 20.6 | 21.1 |
| | 12H | 19.8 | 20.1 | 20.3 | 20.6 | 21.0 | 19.8 | 20.2 | 20.3 | 20.6 | 21.0 |
| 8H | 4H | 19.9 | 20.2 | 20.3 | 20.6 | 21.1 | 19.9 | 20.2 | 20.3 | 20.6 | 21.1 |
| | 6H | 19.9 | 20.2 | 20.3 | 20.6 | 21.1 | 19.9 | 20.2 | 20.3 | 20.6 | 21.1 |
| | 8H | 19.8 | 20.1 | 20.3 | 20.6 | 21.1 | 19.8 | 20.1 | 20.3 | 20.6 | 21.1 |
| | 12H | 19.8 | 20.0 | 20.3 | 20.5 | 21.0 | 19.8 | 20.0 | 20.3 | 20.5 | 21.0 |
| 12H | 4H | 19.8 | 20.2 | 20.3 | 20.6 | 21.0 | 19.8 | 20.1 | 20.3 | 20.6 | 21.0 |
| | 6H | 19.8 | 20.1 | 20.3 | 20.5 | 21.0 | 19.8 | 20.1 | 20.3 | 20.5 | 21.0 |
| | 8H | 19.8 | 20.0 | 20.3 | 20.5 | 21.0 | 19.8 | 20.0 | 20.3 | 20.5 | 21.0 |
| Variations with the observer position at spacing: | | | | | | | | | | | |
| S = | 1.0H | 0.6 / -0.8 | | | 0.6 / -0.8 | | | | | | |
| | 1.5H | 1.5 / -2.3 | | | 1.5 / -2.3 | | | | | | |
| | 2.0H | 2.8 / -3.0 | | | 2.8 / -3.0 | | | | | | |